

اثرات داروی والپروآت سدیم بر رشد ستون مهره‌های جنین موش

فرهاد گلشن ایرانپور^{۱*} M.Sc، دکتر مجتبی رضازاده^{۲*} Ph.D، دکتر احمد حسینی^{۳*} Ph.D.

^۱ دانشگاه تربیت مدرس، دانشکده علوم پزشکی، گروه علوم تربیح

^۲ دانشگاه علوم پزشکی شهید بهشتی، دانشکده پزشکی، گروه علوم تربیح

^۳ آدرس مکاتبه: تهران، صندوق پستی ۱۴۱۱۵-۱۱۱، دانشگاه تربیت مدرس، گروه علوم تربیح

چکیده

* هدف: بررسی تأثیر اسیدوالپروئیک بر ستون مهره‌های جنین موش.

* مواد و روشها: سه دوز متوالی ۲۰۰ میلی گرم بر کیلوگرم والپروآت سدیم به ترتیب در ساعت ۶، ۱۲ و ۲۰ به هشت موش در روز ۹ بارداری به صورت داخل صفاقی تزریق شد. ۷ موش باردار نیز به عنوان شاهد، تنها آب مقطر استریل دریافت کردند. در روز ۱۸ بارداری جنینهای هر دو دسته موش باردار برداشته شدند. پس از کندن پوست و بیرون آوردن امعاء و احشاء، جنینها با روش رنگ آمیزی آزارین رد و آلسین بلو شفاف گردیدند.

* یافته‌ها: با بررسی ستون مهره‌های جنینهای شاهد و آزمایش، ناهنجاریهای زیر شامل: تغییر شکل تن مهره، چند تکه شدن غضروف تن مهره، چسبیدگی تن مهره به مهره‌های دیگر، تغییر در تعداد مراکز استخوانسازی تن مهره، تغییر در تعداد مراکز استخوانسازی طرفی، چسبیدن مراکز استخوانسازی طرفی و Spina Bifida Occulta یا بازبودن خلفی ستون مهره‌ها به صورت مخفی در گروه آزمایش مشاهده گردید.

* نتیجه‌گیری: استفاده از والپروآت سدیم در زمان بارداری موش می‌تواند سبب القای انواع مختلفی از ناهنجاریهای ستون مهره‌ها از جمله Spina Bifida Occulta در جنین شود.

* گل واژگان: والپرآت سدیم، اسپینا بیفیدا، ناهنجاریهای ستون مهره‌ای، جنین موش

نتیجه‌گیری

بر اساس مطالعه این مقاله، در این مطالعه ایجاد ناشایستگی مهره‌های جنین موش

۱. آناتومیک
۲. پرتوگرافیک

۱. آناتومیک
۲. پرتوگرافیک

مقدمه

اسیدوالپروئیک^۱ یکی از داروهای ضد صرع است که از سال ۱۹۷۶ در اروپا و ۱۹۷۸ در امریکا اجازه مصرف پیدا کرد (۱) و بعد از آن به طور وسیع در طول دو دهه اخیر در درمان صرع مورد استفاده قرار گرفت. این دارو نسبت به ضدشنجهای دیگر موجود در بازار دارای مزایای چشمگیری است و بیشتر به شکل نمک سدیم یعنی والپروآت سدیم^۲ مصرف می‌شود. این دارو دارای طیف وسیعی از فعالیت است و به طور گسترده برای کنترل حملات صرعی استفاده می‌شود (۳،۴).

در دهه هشتاد میلادی تعداد قابل توجهی از گذارشات بالینی و تحقیقاتی، اسیدوالپروئیک را با افزایش احتمالی ناهنجاریهای جنینی مربوط دانسته است. محققین با بررسی سابقین پیش از این دارو یک تراتسوژن انسانی است و سبب اختلالات لوله عصبی به خصوص Spina Bifida Aperta می‌گردد (۴-۸). همزمان با این بررسیها در حیوانات هم اختلالات دیگر لوله عصبی از قبیل اگزنسفالی^۳ در هنگام استفاده از اسیدوالپروئیک در دوزهای بالا در موش باردار مشاهده گردید (۱۰،۹).

Diliberti در سال ۱۹۸۴ متدرم جنینی والپروآت را به صورت دیس‌مورفوژنز^۴ ناصیحه صورت، هیپوسپادیاس^۵ در تعداد زیادی از سورزادان، استرابیسموس^۶، کاهش میزان تولد و عقب افتادگی سیکوموتور^۷ تشریح کرد. قابل ذکر است که با وجود مطالعات پاد شده، مکانیسم القای ناهنجاری توسط اسید والپروئیک هنوز ناشناخته باقی مانده است. عوامل احتمالی افزایش ناهنجاریهای جنینی شامل مداخله دارو در متابولیسم چربی و فولیت جنینی و تغییر نسبتاً زیاد در pH جنین هستند (۹).

به هر حال ضرورت درمان صرع در ۴۰ درصد از زنان باردار توسط اسیدوالپروئیک و مطالعات کمی اندکی که در زمینه اثبات این دارو بر روی شکل‌گیری و ایجاد ناهنجاری در متون فقرات جنین وجود دارد ما را بر آن داشت که با استفاده از روش شفاف کردن و رنگ‌آمیزی آلزارین رد^۸ و آلسین‌بلو^۹، اثرات تراتسوژنیک اسیدوالپروئیک را بر روی متون فقرات جنین موش بیش از پیش بررسی کنیم.

مواد و روشها

موشهاي بالغ نر و ماده Swiss White به مدت دو هفته جدا از یکدیگر نگهداری شدند. حرارت در طول مدت نگهداری حدود ۲۰-۲۲ درجه سانتی‌گراد بود و موشهاي نر و ماده ۱۲ ساعت در روشانی و ۱۲ ساعت در تاریکی قرار داشتند. در مرحله جفت‌گیری، موشهاي نر و ماده به مدت ۳ ساعت و به صورت یک به یک در قفس نگهداری شدند. با انجام عمل جفت‌گیری و در روز بعد با شش بچه پلاک واژینال، زمان جفت‌گیری به عنوان ساعت صفر روز صفر بارداری در نظر گرفته شد. سپس ۲۰۰ میلی‌گرم والپروآت سدیم (تیبه شده از شرکت Sigma) در ۱۰ میلی‌لیتر آب مقطر استریل حل شد. وزن مادر

یافته‌ها

همان طور که قبل از اشاره گردید، در این مطالعه برای بررسی آثار والپروآت سدیم ۲۰۰ mg/kg دوز ۲۰۰ میلی‌گرم والپروآت استفاده شد. در بررسی متون مهره جنینی به فاکتورهای متعددی توجه شد که عبارت از شکل

1. Valproic Acid

2. Sodium valproate

3. Exencephaly

4. Dismorphogenesis

5. Hypospadias

6. Strabismus

7. Psychomotor

8. Alizarine red

9. Alcian blue

10. Cervical dislocation



* چسبندگی تنه مهره به تنه مهره‌های دیگر

پارامتر دیگری که مورد توجه قرار گرفت، چسبندگی تنه مهره به مهره‌های دیگر بود که برای هر مهره به طور جداگانه در نظر گرفته شد. میزان این ناهنجاری در گروه شاهد صفر بود ولی در گروه آزمایش در همه مهره‌ها تعدادی وجود داشت (جدول ۱). همان‌طور که در جدول نمایان است، میزان این ناهنجاری در مهره بازدهم و دوازدهم سینه‌ای از همه بیشتر و در مهره دوم ساکروم از همه کمتر است.

* تغییر مرکز استخوانی در تنه مهره

در نمونه‌های شاهد تنها یک مرکز استخوانسازی در تنه هر مهره دیده می‌شود ولی در نمونه‌های آزمایش در بیشتر مهره‌ها تعداد مراکز استخوانسازی در تعدادی از نمونه‌ها تغییر (به افزایش یا کاهش) یافته بودند. همان‌طور که در جدول ۱ دیده می‌شود، بیشترین تغییر در مهره بازدهم و دوازدهم سینه‌ای و کمترین تغییر مربوط به مهره پنجم کمری است که برای صفر می‌باشد؛ بدین ترتیب که در هیچ جنبی در مهره پنجم کمری تغییر در مرکز استخوانسازی مشاهده نگردید.

تنه مهره، تغییر مدل غضروفی تنه مهره، چسبندگی تنه مهره به تنه مهره‌های دیگر، تغییر مرکز استخوانی در تنه مهره، تغییر مراکز استخوانی طرفی در مهره، چسبیدن مراکز استخوانی طرفی (جدول ۱) و بالاخره فاصله بین قوسهای خلفی (جدول ۲) بودند.

در مطالعه ستون مهره‌ها، مهره‌های T₉-S₂ (که بیشترین احتمال اسپینا بیفیدا را دارند) در نظر گرفته شدند و اطلاعات به طور جداگانه برای هر مهره بدست آمد و با مهره‌های دیگر مقایسه شد. همان‌طور که در قسمت مواد و روشها اشاره شد، در مورد پارامترهایی که فراوانی آنها در نمونه‌های شاهد صفر باشد، تستهای آماری بی معنی است و به اجراء تستهای آماری تنها برای فاصله بین قوسهای خلفی استفاده شد.

هر مهره از سه قسمت غضروفی ساخته می‌شود که شامل تنه و دو قوس طرفی است. البته هر کدام از این قسمتها بعداً مراکز استخوانسازی پیدا می‌کنند و این مراکز رشد می‌کنند تا تمامی قسمتهاي استخوانی به یکدیگر متصل گرددند.

* شکل تنه مهره

در جنبهای دو گروه شاهد و آزمایش شکل مهره از نظر طبیعی و

جدول ۱: میزان تغییرات بوجود آمده در ستون مهره‌ای گروه آزمایش

مهره	تغییر شکل تنه	مدل غضروفی تنه مهره به صورت قطعه شده	چسبندگی تنه مهره به تنه مهره‌های دیگر	تغییر مراکز استخوانی تنه	تغییر مراکز استخوانی طرفی		چسبیدن مراکز استخوانی طرفی	
					R	L	R	L
T ₉	۲۱	۲	۵	۲	۰	۰	۲	۴
T ₁₀	۲۲	۲	۹	۲	۳	۴	۶	۶
T ₁₁	۲۲	۶	۱۰	۴	۰	۶	۹	۸
T ₁₂	۲۲	۰	۱۰	۴	۲	۲	۸	۷
L ₁	۲۴	۲	۸	۲	۱	۲	۷	۶
L ₂	۲۲	۲	۶	۲	۲	۲	۷	۶
L ₃	۲۲	۱	۸	۱	۰	۰	۴	۱
L ₄	۲۲	۲	۰	۲	۱	۲	۲	۰
L ₅	۲۱	۴	۶	۰	۰	۲	۰	۰
S ₁	۱۶	-	۴	۱	۰	۰	۰	۰
S ₂	۱۵	-	۲	۱	۰	۰	۰	۰

R=Right, L=Left

* تغییر مراکز استخوانی طرفی در مهره

تعداد مراکز استخوانسازی در قوسهای طرفی هر مهره در نمونه‌های شاهد در هر طرف یک عدد بود و هرگونه تغییر در آن (افزایش یا کاهش) به عنوان یک فاکتور در نظر گرفته شد. با محاسبه تعداد هر کدام، در نمونه‌های شاهد تغییری مشاهده نگردید، در حالی که نمونه‌های آزمایش تغییر در این مقدار را نشان می‌دادند (جدول ۱). همان‌طور که مشاهده می‌شود، این تغییر در مهره بازدهم سینه‌ای از همه مهره‌ها بیشتر بوده و در مهره‌های نهم سینه‌ای، سوم کمری، اول و دوم ساکرال اصلأ وجود ندارد. همچنین میزان این تغییر در طرف چپ مساوی یا بیش از طرف راست است.

با غیرطبیعی بودن ارزیابی شد. در گروه شاهد تنه غیرطبیعی مشاهده نشد ولی در گروه آزمایش در مورد هر مهره، تعداد مهره‌های طبیعی و غیرطبیعی شمارش شد (جدول ۱). بدین ترتیب همه مهره‌ها در جنبهای گروه آزمایش مواردی از شکل غیرطبیعی را دارند و این مقادیر در اولین مهره کمری، بیش از همه و در مهره ساکرال دوم از همه کمتر بود.

* مدل غضروفی تنه مهره

تنه مهره‌های گروه شاهد همگی از یک تکه غضروفی تشکیل شده بودند ولی در گروه آزمایش در مواردی غضروف تنه مهره چند تکه شده بودند. با توجه به جدول ۱، بیشترین تغییر در مهره بازدهم سینه‌ای مشاهده شد و در مهره‌های اول و دوم ساکرال موردي وجود نداشت.

* چسبیدن مراکز استخوانی طرفی

چسبیدن مراکز استخوانی طرفی در هر مهره در گروه شاهد به هیچ وجه مشاهده نگردید، درحالی که در گروه آزمایش همه مهره‌ها جزء مهره پنجم کمری، اول و دوم ساکرال درجاتی از این ناهنجاری را داشتند. این ناهنجاری در مهره یازدهم سینه‌ای بیش از بقیه بود، به جزء مهره نهم سینه‌ای در بقیه مهره‌ها ناهنجاری در طرف راست بیش از طرف چپ بود (جدول ۱).

بررسی شد، در نتیجه، به جزء مهره‌های نهم سینه‌ای و دوم ساکرال مقادیر بدست آمده در مهره‌های دیگر دارای توزیع نرمال بودند (جدول ۲). جهت معین کردن وجود اختلاف معنی دار بین میانگین مقادیر بدست آمده فواصل قوسهای خلفی در مهره‌هایی که توزیع نرمال بود از *t*-استناده شد، در مورد مهره‌های نهم سینه‌ای و دوم ساکرال از *Mann-Withney* استناده گردید.

بدین ترتیب میانگین فواصل قوسهای خلفی در نامای مهره‌های مورد

جدول ۲: اندازه‌گیری فاصله بین قوسهای خلفی در گروههای آزمایش و شاهد

مهره	گروه	تعداد	میانگین (\bar{x})	اختلاف دو میانگین ($\Delta\bar{x}$)	انحراف معیار	آزمون معنی‌داری نرمالیتی	تست موره استفاده	آزمون سطح معنی‌داری
T_9	آزمایش	۲۸	۲۲۷/۰۰۰	۲۲۵/۰۰۰	۱۷۸/۷۸۸	+/۵۰۸	M-W	*
	شاهد	۲۰	۱۶۵/۰۰۰		۳۶/۱۲۸۳	+/۰۰۱		*
T_{10}	آزمایش	۲۸	۲۲۰/۰۷۱۴	۲۷۹/۳۷۱۴	۱۶۴/۸۹۷۱	+/۴۲۸	<i>t</i> -Test	*
	شاهد	۲۰	۴۶/۳۰۰۰		۴۶/۰۰۰۹	+/۲۹۴		*
T_{11}	آزمایش	۲۸	۴۰۳/۰۵۷۱	۲۹۸/۰۵۷۱	۲۰۷/۹۵۴۴	+/۸۸۶	<i>t</i> -Test	*
	شاهد	۲۰	۱۰۰/۰۰۰۰		۵۷/۷۷۴۲۱	+/۸۹۵		*
T_{12}	آزمایش	۲۸	۴۶۶/۷۱۴۳	۲۲۰/۰۴۱۴۳	۲۲۵/۰۲۲۸۰	+/۹۰۲	<i>t</i> -Test	*
	شاهد	۲۰	۱۱۶/۰۰۰۰		۵۲/۰۰۰۰	+/۰۱۰		*
L_1	آزمایش	۲۸	۴۸۶/۰۵۰۷۱	۲۰۵/۰۵۰۷۱	۲۳۱/۰۷۳۸	+/۰۰۲	<i>t</i> -Test	*
	شاهد	۲۰	۱۸۰/۰۰۰۰		۵۱/۰۵۷۱	+/۲۰۰		*
L_2	آزمایش	۲۸	۴۸۸/۰۴۴۲۹	۲۰۰/۰۴۴۲۹	۲۲۸/۰۰۰۹	+/۰۰۲	<i>t</i> -Test	*
	شاهد	۲۰	۱۷۸/۰۰۰۰		۴۹/۹۱۲۲	+/۰۰۷		*
L_3	آزمایش	۲۸	۴۳۲/۰۴۲۸۶	۱۰۰/۰۴۲۸۶	۲۲۱/۰۱۱۸۳	+/۰۰۸	<i>t</i> -Test	*
	شاهد	۲۰	۱۷۴/۰۰۰۰		۲۸/۰۵۱۴	+/۰۰۵		*
L_4	آزمایش	۲۸	۳۹۰/۰۰۰۰	۲۲۹/۰	۲۰۴/۰۰۰۹	+/۰۰۲	<i>t</i> -Test	*
	شاهد	۲۰	۱۰۰/۰۰۰۰		۳۸/۰۱۹۷	+/۰۰۴		*
L_5	آزمایش	۲۸	۳۲۷/۰۴۲۲۹	۲۲۲/۰۴۲۲۹	۱۸۹/۰۰۳۸	+/۰۰۹	<i>t</i> -Test	*
	شاهد	۲۰	۱۰۰/۰۰۰۰		۴۷/۰۱۰۷	+/۰۰۵		*
S_1	آزمایش	۲۸	۲۲۳/۰۰۰۰	۱۷۷/۰	۱۴۶/۰۰۵۵	+/۰۰۲	<i>t</i> -Test	*
	شاهد	۲۰	۵۲/۰۰۰۰		۷۰/۰۱۲۰	+/۰۰۳		*
S_2	آزمایش	۲۸	۱۷۸/۰۴۲۸۶	۱۲۶/۰۴۲۸۶	۱۲۵/۰۰۸۳	+/۰۰۴	M-W	*
	شاهد	۲۰	۷۷/۰۰۰۰		۱۷/۰۰۲۰	+/۰۰۷		*

* $P < 0.0001$

نمود (جدول ۲).

علاوه بر این میانگین فواصل قوسهای خلفی در مهره‌های مختلف حالت یک منحنی میتوسی را چه در گروه شاهد و چه در گروه آزمایش نشان دادند، بدین معنی که افزایش تدریجی فاصله از مهره نهم سینه‌ای تا مهره دوم کمری و سپس کاهش تدریجی آن تا مهره دوم

* فاصله بین قوسهای خلفی

اندازه‌گیری فاصله بین قوسها در خلف به وسیله عدسه مدرج و استریوبیکروسکوپ (Olympus) انجام گرفت، پس از آن با محاسبه بزرگنمایی میکروسکوپ، فاصله واقعی بین قوسهای خلفی بر حسب میکرون محاسبه شد. نرمال بودن توزیع مقادیر بدست آمده در دو گروه شاهد و آزمایش از طریق تست Kolmogorov-Smirnov



وجود شکاف در بین فوسهای خلفی بیانگر وجود Spina Bifida Occulta است.

بحث

اسیدوالپروریک دارای خصوصیات ضدتشنج در مدل‌های مختلف صرع است (۱۲). بررسی محققین ثان داده شده است که این دارو در صورت مصرف در زمان بارداری احتمال وقوع ناهنجاریهای جنیتی را افزایش می‌دهد، با بررسیهای بیشتر و پی‌گیری سوابق بیماران بی برده شد که این دارو سبب اختلالات لوله عصبی بهخصوص Spina Bifida Aperta است.

از آنجایی که تعدادی از زنان باردار به علت تشنجهای شدید ناگفابر از مصرف دارو حتی در طول دوران بارداری هستند، بررسی اثرهای استفاده از دارو بر جنب و بهخصوص سیستم اسکلتو-لیمفاویک در انسان شده است، ما در اینجا دارو سبب القای Spina Bifida در انسان شده است، ما در بررسی خود به احتمال اثر دارو بر ستون مهره‌های جنین موش توجه نمودیم. همان‌طور که اشاره شد در این بررسی با تزریق والپرور آت سدیم به صورت سه دوز متوالی و در روز ۹ بارداری در نژاد موش Swiss White پارامترهای مذکور را بررسی نمودیم. در مورد این پارامترها گزارشی وجود نداشت.

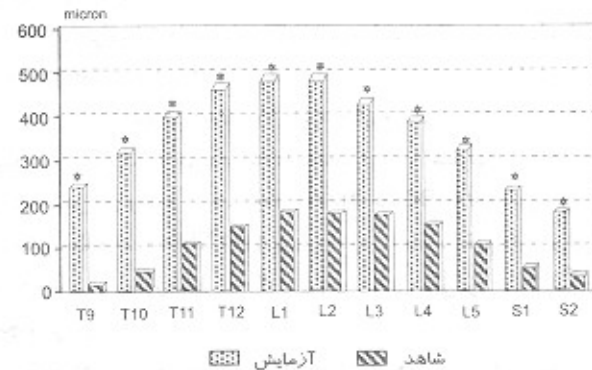
در بررسی شکل نه مهره‌ها در گروه آزمایش تغییر شکل مهره تقریباً در همه مهره‌ها مشاهده گردید و بیشترین تغییر شکل در مهره‌های انتهایی سینه‌ای و بالایی کمری دیده شد. در اینجا اثر انتخابی سدیم والپرور آت بر این قسم‌ها مشاهده می‌شود. با توجه به میزان افزایش تعداد فضلات خضروفی نه مهره، در گروه آزمایش به جز مهره‌های اول و دوم خاجی، یکیه مهره‌ها میزانی از این ناهنجاری را داشتند. میزان این ناهنجاری دارای یک افزایش ناگهانی در مهره پا زدهم سینه‌ای است، سپس تا مهره سوم کمری کاهش و دوباره در ۱۰ و ۱۱ یک افزایش را نمایان می‌سازد. به هر حال این ناهنجاری در مهره‌های T11 و T12 بیشترین مقدار را نشان می‌دهد و کمترین مقدار آن، مربوط به مهره‌های اول و دوم خاجی است.

در مورد چسبندگی نه مهره‌ها به یکدیگر، تمامی مهره‌ها در گروه آزمایش تا اندازه‌ای به مهره‌های دیگر چسبندگی داشته‌اند. بیشترین چسبندگی در T19 و T11 دیده می‌شود. در حد فاصل مهره‌های T9 تا ۱۱ یک حالت تقریباً منظم از افزایش و کاهش وجود دارد. بدین صورت که از T9 تا T11 افزایش از T11 تا ۱۰ یک کاهش را نشان می‌دهد. کمترین میزان چسبندگی در مهره‌های S1 و S2 دیده می‌شود. بنابراین می‌توان گفت که در اینجا نیز اسید والپرور آت کمترین اثر را بر مهره‌های S1 و S2 به جا گذاشته است.

با بررسی تغییر در تعداد مراکز استخوان‌سازی در نه، این ناهنجاری در مهره‌های T11 و T12 بیشترین میزان و در حد فاصل L3 تا S2 (به جز مهره L4) کشتن اطلاعات را نشان داده است.

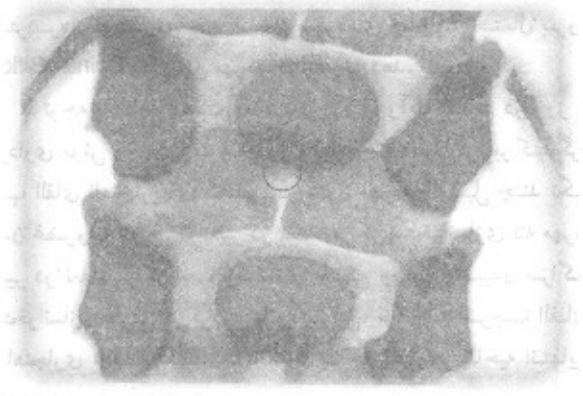
علاوه بر موارد مذکور بیشترین میزان تغییر در تعداد مراکز استخوان‌سازی طرفی مربوط به مهره‌های T10، T11 و T12 در هر دو

خاجی مشاهده شد ولی در گروه آزمایش میانگین فواصل اختلافی بسیار چشمگیری با گروه شاهد داشتند (نمودار ۱).

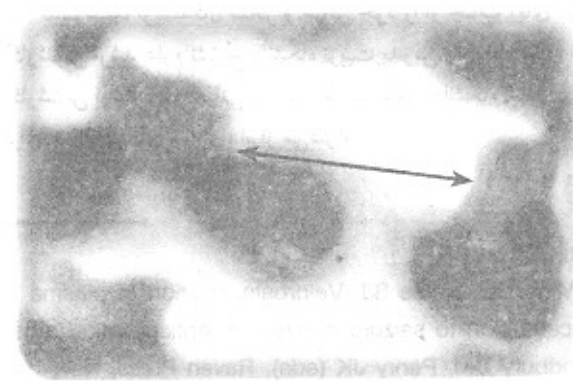


نمودار ۱: مقایسه میانگین فاصله بین قوسهای خلفی در مهره‌های T9-T12. *P<0.0001

همان‌طور که اشاره شد میانگین فواصل قوسهای خلفی در تمامی مهره‌ها و در هر گروه شاهد و آزمایش اختلاف معنی دار داشتند، این بدان معنوم است که در گروه آزمایش قوسهای خلفی دارای فواصل بیشتری نسبت به گروه شاهد است (شکل ۱ و ۲).



شکل ۱: فاصله بین قوسهای خلفی (ایمپر) در ناحیه کمری جنبن ۱۸ روزه گروه شاهد را نشان ALZ. Red and ALC. Blue x65



شکل ۲: فاصله بین قوسهای خلفی (الش دولوفر) در ناحیه کمری جنبن ۱۸ روزه گروه آزمایش را نشان می‌نماید ALZ. Red and ALC. Blue x60

طرف است. با توجه به مقادیر بدست آمده به نظر می‌رسد مقادیر نظم خاصی را دنبال نمی‌کنند و در فاصله مهره‌های ۳-۴ (به جز مهره ۴) موردي از تعداد مرکز استخوانی در سمت راست وجود ندارد. ضمناً میزان تغییر در طرف چپ مساوی و یا بیش از طرف راست است. ظاهراً این ناهنجاری در طرف چپ بیشتر دیده می‌شود. برخلاف مورد قبل، چه در مورد طرف راست و چه در مورد طرف چپ، میزان چسبیدن مراکز طرفی استخوانسازی دارای نظم خاصی هستند. یعنی از مهره‌های ۹ و ۱۰ تا ۱۱ افزایش میزان ناهنجاری و پس از آن تا مهره ۱۲ کاهش آن را به صفر داریم. همچنین جز در مهره ۹ در بقیه مهره‌ها مقادیر ناهنجار در سمت راست مساوی و یا بیش از طرف چپ است.

همان‌طور که ملاحظه می‌شود با جمع‌بندی اطلاعاتی که در مورد اختلالات به وجود آمده در ستون مهره‌ها بدست آوردهیم، می‌توانیم چنین اظهارنظر نماییم که وقتی دوز ۲۰۰ میلی‌گرم بر کیلوگرم سدیم‌والپروآت در روز ۹ بارداری به کار رود، بیشترین اثر خود را بر مهره‌های انتهایی سینه‌ای (T₁₁ و T₁₂) و کمترین اثر خود را بر مهره‌های S₁ و S₂ اعمال می‌کند.

در انسان در ۱ تا ۱ درصد فرزندان زنان بارداری که اسیدوالپروئیک استفاده کرده‌اند، ناهنجاری Spina Bifida Aperta مشاهده شده است (۹). در حیوانات آزمایشگاهی ایجاد این ناهنجاری مشکل است و ناهنجاری انتخابی در موش، بیشتر اگزنسفالی است (۹). اسپینایفیدا آپرتا ناهنجاری مربوط به قسمت کودال لوله عصبی است در حالی که اگزنسفالی ناهنجاری مربوط به قسمت کراتیال لوله عصبی است. Turner و همکارانش با استفاده از اسیدوالپروئیک در روز ۸ بارداری، موفق به ایجاد اگزنسفالی در موش گردیدند (۱۳). تزریق اسیدوالپروئیک به صورت سه روز متوالی و در روز ۹ با دوزهای ۴۰۰، ۴۵۰ و ۵۰۰ میلی‌گرم بر کیلوگرم سبب ایجاد اسپینایفیدا آپرتا در موش CD-1 گردیده است (۱۴). همان‌طور که گفته شد، ما در بررسی خود با تزریق ۲۰۰ میلی‌گرم بر کیلوگرم سدیم‌والپروآت در روز ۹ و در نزد Swiss White فاصله بین قوهای خلفی را محاسبه نمودیم که این فاصله در گروه آزمایش با گروه شاهد اختلاف معنی‌دار داشت. با تعیین حد ماکزیم فاصله در هر مهره در گروه شاهد مقایسه گروه آزمایش با این حد، می‌توان گفت که در مورد هر مهره در گروه آزمایش ۷۵ تا ۵۰ درصد، فاصله بیش از حد ماکزیم است و بدین‌ترتیب می‌توان حدود ۶۰ درصد ناهنجاری را در هر مهره پیش‌بینی کرد. این ناهنجاری که عبارت از بازبودن بیش از حد فاصله

۲۶

تقدیر و تشکر

بدینوسیله، نویسنده‌گان تشکر و سپاس خود را از جناب آقای آبرون کارشناس ارشد علوم تحریج دانشگاه تربیت مدرس و جناب آقای ابری کارشناس ارشد آمار حیاتی و عضو هیئت علمی دانشگاه شهید بهشتی برای انجام کارهای آماری، ابراز می‌دارند.

References

- Wilder BJ, Karas BJ: Valproate, relation of plasma concentration to seizure control. In: Antiepileptic drugs Woodbury DM, Penry JK (eds), Raven Press, New York, 1982, pp 591-599
- Gugler R, Von Unruh GE: Clinical pharmokinetics 1. Rat

- of valproic acid. Clin Pharm 1980; 5: 67-73
- Pinder RM, Brogden RN, Speight TM: Sodium Valproate-a review of its pharmacological properties and therapeutic efficacy in epilepsy drugs 1977; 13: 81-87
- Robert E, Rosa F: Valproate and birth defects.

- Lancet 1983; II: 1142-1150
- 5. Robert E, Guibaud P: Maternal valproic acid and congenital neural tube defects. Lancet 1982; II: 937-942
 - 6. Lindhout D, Meinardi H: Spina Bifida and in-utero exposure to valproate. Lancet 1984; II: 396-401
 - 7. Lindbont D, Schmidt D: In-utero exposure to valproate and neural tube defects. Lancet 1987; I: 1392-1393
 - 8. Jager-Roman E: Fetal growth, major malformation and minor anomalies in infants born to women receiving valporic acid. J Pediatr 1986; 108: 997-1004
 - 9. Nau H: Pharmacokinetics of valproic acid and its metabolites in a pregnant patient. In Epilepsy, pregnancy and the child, Janz D (ed), Raven press, New York, 1981, pp 131-144
 - 10. Kao J, Brown A, Schmid B: Teratogenicity of

- valproic acid teratogen. Carc Mut 1981; 1: 367-382
- 11. Kimmel CA, Trammel C: A rapid procedure for routine double staining of cartilage and bone in fetal and adult animals. Stain Tech 1981; 56: 271-273
- 12. Chapman A, Keane PE: Mechanism of anticonvulsant action of valproate. Progress Neurobiol 1982; 19: 315-320
- 13. Turner S, Sucheston R, Dephilip M: Teratogenic effects of neuroepithelium of CD-1 mouse embryo exposed in utero to sodium valproate. Teratology 1990; 41: 241-422
- 14. Ehlers-K, Sturje H, Nau H: Spina bifida aperta induced by Valproic acid. Teratology 1992; 46: 117-130
- 15. Seegmiller R: Morphological differences elicited by two weak acids, retinoic and valproic in rat embryos grown in vitro. Teratology 1991; 43: 133-150

